

波群特性の異なる不規則波による港内進行波の特性について

東北電力(株) 総合研究所 正員 奥野敏彦

1. まえがき

港湾施設の設計資料となる港内波高分布は、水理実験や数値計算によりかなり精度よく推定されるようになってきたが、越波時・無越波時の港内進行波の波群特性との関係を把握することは興味深いと言える。そこで、規則波と波群特性の異なる不規則波を用いて半無限堤背後の進行波の特性を検討した結果を報告する。

2. 実験装置および実験条件

地形模型は、図-1のように1/100勾配の海底地形で縮尺1/125に設定した。半無限堤模型は、幅20cm、天端高3.8cm(越波時)の直立堤で水深8.8cm(現地換算11m)に等深線と平行に設置した。また、造波装置は造波板幅10mのピストン式造波機を用い、水深29cm(同36.25m)に設置した。

実験波の波浪条件は、沖波波高 $H_0=3.2\text{cm}$ 、設定周期 $T_m=0.82, 1.29\text{秒}$ 、沖波波向 $\theta_0=45^\circ$ とした。不規則波の作成方法は、目的スペクトルを同一のBretschneider-光易型とし、逆フーリエ変換法による方法(IRG)と岩垣・間瀬らのシミュレーション法(WG)を用い波群特性の異なる2種類の不規則波を作成した。なお、後者の方法では波群特性の高い2つの現地波のSWEHを採用した。この後、各実験波は周期別に規則波REG082、REG129、不規則波IRG082、WG129等と示す。測定範囲は、図-1のとおり半無限堤先端を原点とし各波長Lに対しX方向7L、Y方向4Lの範囲である。

測定データは、有義波高 $H_{1/3}$ 、有義波周期 $T_{1/3}$ 、平均連長 $J(H_{1/3})$ 、 $J(\bar{H})$ 、平均繰り返し長さ $I(H_{1/3})$ 、 $I(\bar{H})$ 、相関係数 r 、および時系列の変動性を示すGFである。

3. 実験波の諸元

表-1に、半無限堤設置前の水深8.8cmでの各実験波の諸元を示す。周期別に見ると、波高・周期はほぼ同一で波群特性を表わすバラメーターはWG082、WG129が全体的に大きく、波群特性が高いと考えられる。

4. 回折波の特性

図-2は、周期1.29秒の回折波の波高比、周期比および方向集中度バラメーター-S_{max}=75、 $\theta_0=45^\circ$ の場合の理論曲線である。規則波の波高比は重複波の形成により大きい変動を示すが、不規則波では理論曲線に近似している。しかし、波高比・周期比の若干の相異は、実験波の一方向入射条件により方向集中度が高くなるためと推測される。また、同図からは実験波の波群特性の相異は波高比・周期比にほとんど影響を与えないと言える。

次に、図-3に各波群特性を表わすバラメーター比を示す。平均連長比、相関係数比は波高減衰に伴い低下するがGF比はほぼ1である。これは、回折波の波群特性は低下するが時系列の変動性から見ると実験波の波の連なりは保存されることを示す。また、周期別では一般に各バラメーターが大きな値を示す波程回折変形に伴

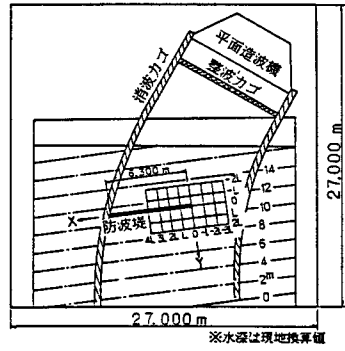


図-1 地形および半無限堤模型概要図

図-1 防波堤設置点(水深8.8cm)の実験波の諸元

WAVE	REG082	WG082	IRG129	WG129
$H_{1/3}$ (cm)	2.773	2.784	3.088	3.082
$T_{1/3}$ (sec)	0.816	0.824	1.263	1.267
$J(H_{1/3})$	1.494	1.563	1.420	2.038
$I(H_{1/3})$	9.268	11.077	10.246	8.863
$J(\bar{H})$	2.788	3.133	3.214	3.020
$I(\bar{H})$	5.364	5.935	5.933	5.871
r	0.446	0.447	0.465	0.517
GF	0.709	0.636	0.541	0.884

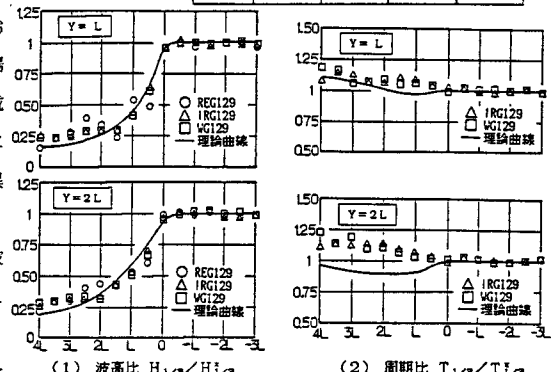


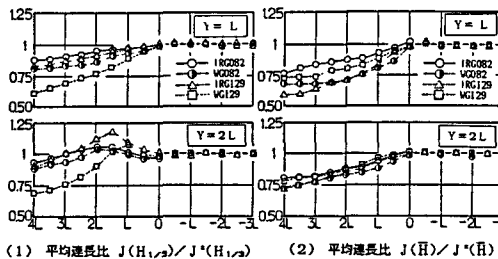
図-2 周期1.29秒の波高比、周期比
＊印：防波堤設置前の水深8.8cmでの測定値

(1) 波高比 $H_{1/3}/H_{\bar{1/3}}$

(2) 周期比 $T_{1/3}/T_{\bar{1/3}}$

図-2 周期1.29秒の波高比、周期比

うその値の低下量が大きく、来襲波の波群特性の大小の差は目立たなくなることがわかった。



(1) 平均連長比 $J(H_{1/3})/J^*(H_{1/3})$ (2) 平均連長比 $J(H)/J^*(H)$ (3) 相関係数比 r_1/r_1^* (4) GF比 GF/GF^*
＊印：防波堤設置前の水深8.8mでの測定値

図-3 波群特性を表す各パラメータ比

5. 越波による伝達波の特性

越波に伴う伝達波を平面水槽で発生させた結果、 $Y=L$ 地点の伝達波の諸元を表-2 に示す。同表より、WG082, WG129 の方が有義波高や各パラメーターが大きく、特に周期1.29秒の場合が顕著な差を示している。これは、表-1 からわかるように、周期1.29秒の2つの不規則波の高波の連なり程度を表す $J(H_{1/3})$ や GF に差が大きいことが、越波率の増加や越波量の増大と密接な関係にあるためと予想される。

(1)

また、合田らが求めた不規則波の越波による波高伝達率および周期比と実験値の比較を表-3 に示す。同表より、実験値と計算値はほぼ一致しているが周期0.82秒の周期比だけ異なっていることがわかる。

6. 越波を伴う場合の港内進行波の特性

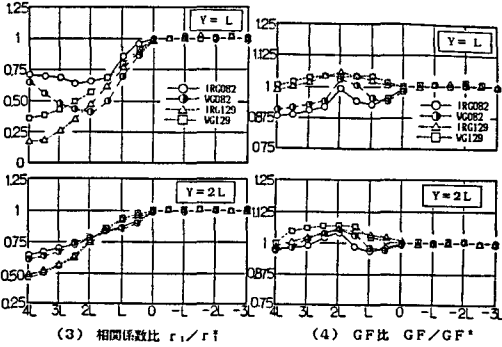
図-4 は、 $Y=L$ 地点の越波時の波高比と各パラメーターである。波高比では、REG129 の場合変動性が大きいが全体的に無越波時と比べ波高の低下を示し、IRG129, WG129 も同様に 6% 程度減少している。一方、周期0.82秒の両不規則波とも 7~8% 増加している。これは、周期0.82秒の場合周期のほぼ等しい波が合成され增幅作用を受けること、周期1.29秒の場合は周期・位相の異なる波が入射して干渉されることによると推測される。さらに、周期0.82秒の場合 WG082 の方が IRG082 より 3~5% 大きいが、周期1.29秒の場合両者の差は確認されない。

また、越波時の平均連長と GF は無越波時より若干増加傾向を示す。特に、周期0.82秒の $J(H_{1/3})$ の増加率が高く $Y=L$ 地点で 1.1 倍となり、かつ WG082 の方が大きい。従って、越波時には伝達波周期と回折波周期がほぼ等しくなる場合に波群特性の卓越傾向が顕著となると考えられる。

7. あとがき

上記の検討より、波群特性の異なる港内進行波の波高比・周期比は、無越波時にはほとんど変わらずその波群特性は回折伝播過程で低下しその差が現われなくなること、10% 程度の越波率ではその伝達波と回折波の周期がほぼ等しいと来襲波の波群特性の相異が港内進行波の特性に反映し、港内擾乱を増大させることがわかった。

(参考文献) (1) 合田、鈴木、岸良：不規則波浪実験とその特性について、第21回海岸工学講演会論文集



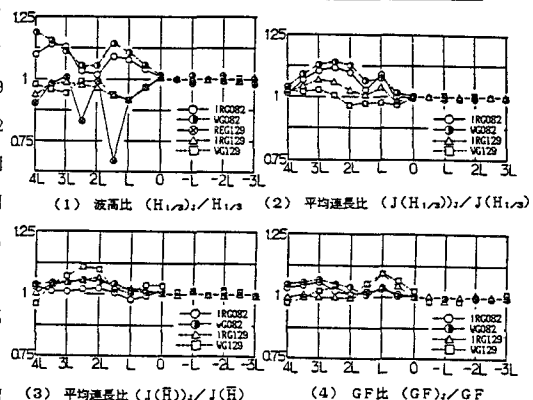
＊印：越波時の測定値

表-2 $Y=L$ 地点の越波による伝達波の諸元

WAVE	IRG082	WG082	IRG129	WG129
越波率 (%)	9.42	10.45	13.60	14.20
$H_{1/3}$ (cm)	0.111	0.121	0.161	0.224
$T_{1/3}$ (sec)	0.894	0.871	0.950	0.973
$J(H_{1/3})$	1.780	1.823	1.700	2.125
$J(H)$	13.776	14.259	15.825	12.571
$I(H)$	2.596	2.686	2.654	2.384
$I(H_{1/3})$	6.064	5.826	5.867	6.000
r_1	0.522	0.523	0.508	0.548
GF	1.151	1.031	1.107	1.588

表-3 伝達波の波高比と周期比

WAVE	波高伝達率 (%)		周期比 (%)	
	計算値	実験値	計算値	実験値
IRG082	4.29	4.00	76.0	109.6
WG082	4.35	4.30	75.8	105.7
IRG129	5.52	5.22	73.6	75.2
WG129	6.41	7.27	73.6	76.8



＊印：越波時の測定値

図-4 $Y=L$ 地点の越波時の波高比と各波群特性パラメータ比